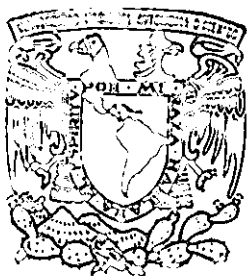


11237



UNIVERSIDAD NACIONAL AUTÓNOMA
DE MÉXICO

DIVISION DE ESTUDIOS DE POSGRADO
INSTITUTO MEXICANO DEL SEGURO SOCIAL.
CENTRO MEDICO NACIONAL SIGLO XXI
HOSPITAL DE PEDIATRIA

43

DIVISION DE ESTUDIOS DE POSGRADO
INSTITUTO MEXICANO DEL SEGURO SOCIAL
CENTRO MEDICO NACIONAL SIGLO XXI
HOSPITAL DE PEDIATRIA
J. N. A. PATOLOGICA DE 5 CASOS

S E S I S

PARA OBTENER LA ESPECIALIDAD EN
PEDIATRIA MEDICA
PRESENTA:

MORA, FANNY DELGADO MIRANDA

TUTOR: DR. RAFAEL PARRA BRAVO.

ASESORAS CLINICAS: DRA. LUISA BEIRANA PALENCIA.

DRA. GEORGINA SCIORDIA REYES.

MEXICO, D. F.

4307
2001



UNAM – Dirección General de Bibliotecas

Tesis Digitales
Restricciones de uso

DERECHOS RESERVADOS ©
PROHIBIDA SU REPRODUCCIÓN TOTAL O PARCIAL

Todo el material contenido en esta tesis está protegido por la Ley Federal del Derecho de Autor (LFDA) de los Estados Unidos Mexicanos (México).

El uso de imágenes, fragmentos de videos, y demás material que sea objeto de protección de los derechos de autor, será exclusivamente para fines educativos e informativos y deberá citar la fuente donde la obtuvo mencionando el autor o autores. Cualquier uso distinto como el lucro, reproducción, edición o modificación, será perseguido y sancionado por el respectivo titular de los Derechos de Autor.

TESIS CON FALLA DE ORIGEN

DEDICATORIAS:

DANIELA:

Motivación constante en mi vida, gracias a tu comp. amistad paciencia, amor y cariño que han sido siempre la razón y base de mi superación.

MILDA:

Mi mejor amiga, la mejor madre del mundo, mi brazo derecho; por tus consejos, rezos y el cuidado de lo que más amo, gracias por tanto y por todo.

ARMANDO:

Por tu inquebrantable amor a la medicina y enseñarme a amarla, por los valores y principios que cambió en mí, por haber sido el mejor y más complaciente de los padres.

RANULFO:

Por tu apoyo incondicional, nobleza y amor que siempre me brindas, por tu calidad humana y gran espíritu, gracias por la oportunidad y tiempo de esperar.

ARMANDO Y ALBERTO:

Tus hermanos, por enseñarme que el bien siempre se paga con bien, por creer en mí, en mis anhelos y sueños, por consentirme y aguantarme.

CONCIA Y MELI:

Tía y prima incomparables, a las palabras de aliento y fe que depositaron en mí.

DR. OMAR MORALES CARBAJAL:

Quien me encorrió a amar a la pediatría, mi maestro y amigo, por enseñarme el equilibrio entre el excelente profesional y la calidad humana.

DR. RAFAEL PIZA BERNAL:

Por sus consejos y tiempo brindado, por enseñarnos la filosofía de la vida, cuyo liderazgo y don de gentes es un ejemplo a seguir.

DR. RELAXINO HIRAS MARTÍNEZ:

Excelente información, gracias por creer en mí y haber depositado su confianza en este proyecto.

DR. RAFAEL PARRA BRAVO:

Por ser amigo y gran profesional, el apoyo y confianza.

DR. RAÚL HUMBERTO MURO FLORES:

No por ser el último, el menos importante, cierro con broche de oro mis dedicaciones; con toda mi admiración, orgullo y especialimento mi agradecimiento infinito a tu apoyo, consejos, "duras" y a todos y tantos y a cada uno de los momentos que me brindaste y cuya comprensión hizo posible ver mi sueño realizado.

INDICE.

RESUMEN	1
ANTECEDENTES	2 - 4
OBJETIVOS	5
MATERIAL Y METODOS	6
CRITERIOS DE SELECCION	3
DEFINICION DE VARIABLES	6
HALLAZGOS CLINICOS	7
HALLAZGOS RADIOLOGICOS	8
HALLAZGOS ELECTROCARDIOGRAFICOS	9-10
HALLAZGOS ECOCARDIOGRAFICOS	11-12
HALLAZGOS HEMODINAMICOS	13
HALLAZGOS ANATOMOPATOLOGICOS	14
RESULTADOS	15
DISCUSION	16-17
CONCLUSIONES	18
ANEXOS	19-21
TABLAS	22-24
FIGURAS	25-31
BIBLIOGRAFIA	32

RESUMEN:

El síndrome de ventrículo izquierdo hipoplásico es el término usado para describir una falla cardíaca, que consiste en el insuficiente desarrollo de las estructuras izquierdas del corazón y cuya forma más común es la atrésia cártila y/o estenosis mitral, resultando a su vez hipoplasia de la aorta ascendente y arco aórtico. El síndrome es una de las cardiopatías más comunes, en la cual solo existe desarrollo de un solo ventrículo. Se considera la cifra millorada confirmada del recién nacido, así como 15-20% de los muertos durante la vida neonatal.

El objetivo del estudio es el de reportar el comportamiento clínico del Síndrome de Ventrículo Izquierdo Hipoplásico en la etapa neonatal para establecer posibles clínicas diagnósticas temprana y tratamiento oportuno.

Para tal efecto, se revisaron en la muestra retrospectiva los expedientes clínicos de 5 casos con diagnóstico etiopathológico del Síndrome de ventrículo izquierdo hipoplásico en el Hospital de Pediatría del Centro Médico Nacional Siglo XXI que se presentaron durante un periodo de 6 años, analizando los datos clínicos de gabinete y estudios postmortem.

La edad de los pacientes a su ingreso fue en promedio de 2 días (2-4 días) con predominio del sexo masculino con una relación de 1.6:1 con el femenino y peso promedio de 2,400 gr (800-4100 gr). No se encontraron datos perinatales de importancia en ninguno de los casos. Los diagnósticos a su ingreso fueron: Síndrome de dificultad respiratoria, cianosis y cardiopatía congénita. La edad de inicio de los síntomas, fué en promedio de 28 horas (2-94 hrs); los principales síntomas fueron dificultad respiratoria, datos de falla cardíaca y cianosis; el promedio de vida fué de 10 días (2-18 días). Los estudios de gabinete mostraron por radiología, cardiomegalia de grado variable (3 casos) y datos ecocardiográficos de atrésia cártila y estenosis mitral (2 casos). El tratamiento de estos pacientes fué a base de apoyo con inotrópicos, furosemide y asistencia mecánica a la ventilación. Ninguno recibió manejo con prostaglandina E1.

De los hallazgos enclamopatológicos, el subtipo anatómico más frecuente fué la atrésia cártila en el 80% de los casos, siguiendo la atrésia mitral y la estenosis mitral (40%), la comunicación interventricular y el conducto arterioso permotorio se observó en el 80 % de los casos estudiados y la comunicación interventricular y el cayado de la aorta hipoplásico solo en el 40%, la hipoplasia de la aorta ascendente se reportaron en 3 casos (60%). La causa del fallecimiento fué choque cardiogénico en todos los pacientes.

Dado la presentación de la patología es necesario que en todo recién nacido sin antecedentes perinatales de importancia, entópicas y que manifiesta datos de falla cardíaca, falla respiratoria, cianosis e hipoxemia en etapas tempranas, así como manifestaciones progresivas de bajo gasto, debe hacerse sospechar esta patología. Con el apoyo de estudios de gabinete específicamente ecocardiograma es posible realizar diagnóstico temprano para establecer el tratamiento quirúrgico oportuno.

ANTECEDENTES.

El síndrome de corazón izquierdo hipoplásico es el término usado para describir el espectro de una malformación cardíaca congénita que tiene en común varios grados de infarto desarrollo de las estructuras izquierdas del corazón. La falla anatómica central, es la forma más común del síndrome, es la presencia de estrecho de la válvula aórtica, resultando con hipoplasia de la corteza ascendente y ancho aórtico. El ventrículo izquierdo se encuentra hipoplásico o ausente.(1)

En los pacientes que nacen con estrecho de la válvula aórtica puede coexistir también la estenosis o estenosis de la válvula mitral. El flujo sistémico sanguíneo es mantenido por el ventrículo derecho, vía la arteria pulmonar y un conducto arterioso permeable.(1)

El síndrome de corazón izquierdo hipoplásico es una de las malformaciones cardíacas congénitas en la cual se ha desarrollado un solo ventrículo. Se considera la 4ta malformación congénita presente en la infancia y representa el 7.5% de las enfermedades cardíacas congénitas en el recién nacido y el 15-25% de los muertos durante la 1era semana de vida.(2)

De acuerdo a los recuentos de los estudios realizados por el programa de niños cardíopatías de Nueva Inglaterra existe una prevalencia del 0.164/1000 nacidos vivos, el estudio de Baltimore-Washington reporta 0.237/1000 nacidos vivos. En México no conocemos la prevalencia existente de esta patología.(2)

En relación a su morfogénesis aún no desconocida pero al parecer se trata de genopatía autodómica recesiva, asociándose con Sx. Tumor, tricoma 18, alteraciones del SNC como heteroplasia facial (2%) y ausencia del cuerpo calloso(7%).(1)

Natowicz reporta en una serie de necropsia de niños con esta patología realizada en el Hospital del Niño de Philadelphia y en el Hospital de la Universidad de Pennsylvania en un periodo de 11 años, asociación de Sx. VI Hipoplásico con tricoma 18, tricoma 13, tricoma 21, Sx. de Tumor, Sx. de Smith-Lemli-Opitz, Sx. de Apert y Sx. de Holt-Oram, concluyendo que aproximadamente el 28% de su serie cursan con desórdenes genéticos cubycentos.(3)

En estudios anatopatológicos se subcategorizan 4 subtipos anatómicos basados en la morfología de los válvulas del corazón izquierdo: 1.- cierre aórtica y mitral, 2.- estrecho aórtico y mitral, 3.- estrecho aórtico y estenosis mitral y 4.- estenosis aórtica y estrecho mitral. Asociándose a la estrecho aórtica, a mayor severidad de la hipoplasia de la corteza ascendente con la cual se encuentra asociada esta patología detectando un diámetro de corteza ascendente con estrecho aórtico de 2.5 mm mientras que con la estenosis aórtica es de 4 - 5 mm. El ancho de la corteza es hipoplásico o bien puede estar interrumpido, estos pacientes cursan con conducto arterioso permeable y un foramen oval restrictivo, así mismo se reporta que tanto el atrio y ventrículo izquierdo se encuentran pequeños y con datos de fibrosclerótico. Se asocia a este padecimiento a otras malformaciones cardíacas tales como la conexión total anómala de venas pulmonares, estrecho del cavo coronario, estrecho pulmonar, anel auricular ventricular completo entre órbita, así mismo Schutte y colaboradores reportan que las arterias coronarias se encuentran estenocedas en el 50% de los pacientes en el subgrupo con estrecho aórtico y estenosis mitral, por otro lado las arterias coronarias son raras en pacientes con estrecho aórtico y estrecho mitral.(4)

El reporte del Programa regional de cardiopatía infantil de Nueva Inglaterra revela que la gran mayoría de los pacientes que padecen esta enfermedad, son pacientes de término, eutróficos, sin antecedentes perinatales de importancia, con adecuado Apgar y sin datos de hipoxia perinatal. (5)

La evolución de estos pacientes es fatal, observándose que mueren durante los 1eros días o semanas de nacidos esto coincidiendo con el cierre del conducto arterioso ó comunicación interauricular restrictiva; el curso es malo con descompensación

hemodinámica severa, con datos de falla cardíaca y galope en el 60% de los casos, hepatomegalia e ingurgitación jugular, dificultad respiratoria severa, acidosis metabólica, hipototasemia, cuadro con hipoxemia severa y la consiguiente hipoperfusión cerebral desencadenando la muerte por colapso cardiopulmonar. (6)

Los hallazgos radiológicos, reportados por Folger *et al.*, que estos pacientes presentan cardiomegalia de grados variables y datos de edema pulmonar, (7); electrocardiográficamente según lo reportado por Van Rieland, el 50% presentan algún dato hipertrofia ventricular derecha, en ese lucio la derrota entre +120° y +180°, crecimiento del diafragma con P acuminada o isquemias miocárdicas con depresión del segmento S-T principalmente este último hallazgo en niños con cierra del conducto arterioso. (8)

El diagnóstico puede hacerse por ultrasonido prenatal aproximadamente a las 18-19 semanas de gestación, reportando Allan *et al.* y colaboradores en una serie de 6000 embarazos de alto riesgo en la cual, describen e identifican la paroxística contractilidad del ventrículo izquierdo a las 22 semanas de gestación, con posterior estudio a las 32 semanas demostrando que el ventrículo no crecía. El diagnóstico prenatal es un hallazgo. (9)

El examen físico de un neonato con dificultad respiratoria severa, con cianosis y grandes variaciones de colapso cardiopulmonar, no es específico para el diagnóstico, el estudio de gabinete de mayor rotación para efectuar el diagnóstico, es la ecocardiografía, por la excelente definición que aporta demostrando el conducto arterioso permeable en el 80% de los casos, así como la morfología del ventrículo izquierdo, lo cual es de particular importancia para el tratamiento quirúrgico de estos pacientes. (4)

El cateterismo cardíaco es un estudio que se usa en circunstancias excepcionales por el daño que se puede tener sobre el conducto arterioso. (4)

El manejo médico consiste en mantener equilibrio Ácido-basico, estabilidad hemodinámica con apoyo de amino y conservar permeable el conducto arterioso a base de infusión de prostaglandina E1 y en su caso ventilación mecánica. (4). Por lo que estos pacientes cuentan con 3 opciones de manejo, 1.- de copartir, 2.- con reconstrucción quirúrgica en dos tiempos y 3.- trasplante cardíaco (10).

Más tarde de 30 años Lou descubrió un grupo de corazones con hipoplasia ventricular izquierda y disminución del trácto de salida, más tarde en los '70s no existía aún, una técnica quirúrgica conocida para esta tipo de paciente que curaban en forma temprana con datos de falla cardíaca y respiratoria muriendo durante el 1er mes de vida extrauterina; apareciendo en 1983 una técnica quirúrgica innovadora conocida y conducida por Norwood y sus colegas, la cual consiste en dos fases: la primera fase paliativa y con una segunda fase, la cual es la técnica de Fontan modificada. (2)(11)

Apareciendo más tarde una innovación por Bellay y Lemo Linda siendo estos los pioneros del alotrasplante de corazón en recién nacidos con Sx. de ventrículo izquierdo hipoplasico. (12)(13)

Dado que esta anomalía cardíaca es fatal sin manejo quirúrgico se contemplan contraindicaciones para su realización en pacientes con cardiopatía congénita y con gran prematuros (menos de 34 semanas) y con peso bajo (menos de 2000 gr), estos dos últimos no son absolutas.

Jonco y colaboradores reportan una serie de 25 neonatos con cirugía reconstructiva (1ra fase) en la cual presentan una mortalidad del 24% en el posoperatorio inmediato y 40% en el posoperatorio mediano, coincidiendo con lo reportado por Pigal y Meliones, siendo las causas más frecuentes de fallecimiento la insuficiencia coronaria, sepsis, hipoxia, falla renal y hemodinámica. (14). La cirugía en estos pacientes se clasifica en 3 fases de reconstrucción, en las cuales las 2 son cirugías paliativas y la tercera es correctiva, las cuales consisten en lo siguiente:

1ra. fase paliativa:

Edad:

1.- Septactomía atrial

1-30 días

2.- Anastomosis proximal de la arteria pulmonar con la aorta con aumento del arco aórtico.

4-10 meses

3.- Cercocircuito aortopulmonar

2da fase paliativa

Historia tipo Glenn bidireccional ó HemiFontan

Son fases corregible
Fontan completa

18-24 meses

Los análisis preliminares sugieren que los sobrevivientes a los que mejor les fué en la fase I, con aquellos que presentaron estenosis mitral y aórtica en relación con aquellos que tuvieron obstrucción mitral y aórtica, el grupo con obstrucción mitral y estenosis mitral tienen más riesgo de muerte. (14)

OBJETIVO: Describir los datos clínicos y hallazgos patológicos en pacientes portadores del Síndrome de Ventrículo Izquierdo Hipoplásico.

OBJETIVOS ESPECÍFICOS:

- 1.- Describir la evolución clínica de niños con Síndrome de Ventrículo Izquierdo Hipoplásico.
- 2.- Descripción de los hallazgos ecocardiográficos en esta entidad.
- 3.- Descripción de los hallazgos anatomo-patológicos de esta entidad.

MATERIAL Y MÉTODOS:

LUGAR: El estudio se realizó en el Hospital de Pediatría del Centro Médico Nacional Siglo XXI, del Instituto Mexicano del Seguro Social, de la Ciudad de México,D.F., en los departamentos de Cardiología y Anatomía Patológica.

DISEÑO: Reporte de casos.

GRUPO DE ESTUDIO: Se incluyeron a todos los pacientes con diagnóstico patológico de Síndrome de Ventrículo Izquierdo Hipopítico, con edades comprendidas desde el nacimiento hasta el año de edad, captados del 28/04/89 al 31/12/93 en el Hospital de Pediatría del C.M.N. S. XXI del IMSS.

CRITERIOS DE COLECCIÓN:

CRITERIOS DE INCLUSIÓN:

- 1.- Pacientes con diagnóstico de Síndrome de Ventrículo Izquierdo Hipopítico establecido por anatomía patológica.
- 2.- Pacientes que cuentan con expediente clínico completo.

CRITERIOS DE EXCLUSIÓN:

- 1.- Pacientes que no cuentan con expediente clínico completo.
- 2.- Pacientes que no cuentan con expediente anatomo-patológico completo.

DEFINICIÓN DE VARIABLES:

VARIABLE INDEPENDIENTE:

EDAD: Variable de intervalo o continua, la cual se define como el tiempo real transcurrido desde el nacimiento del sujeto en estudio al momento del diagnóstico de la enfermedad y se expresó en días para los recién nacidos, meses y días para los lactantes.

Recién nacido: Desde el nacimiento hasta los 28 días de edad.

Lactantes: Desde los 28 días de edad hasta los 18 meses de edad.

SEXO: Variable discreta nominal o dicotómica, se refiere a la condición orgánica de acuerdo a sus características fenotípicas que distinguen a la mujer del hombre. Se expresa como femenino o masculino.

VARIABLE DEPENDIENTE: SÍNDROME DE VENTRÍCULO IZQUIERDO HIPOPLÁSICO.

CARACTERÍSTICAS DIAGNÓSTICAS CLÍNICAS:

A. MANIFESTACIONES CLÍNICAS.

MANIFESTACIONES CLÍNICAS. Variable ordinal y que comprendió los signos y síntomas, presentados por el paciente desde el inicio de la enfermedad y que fueron consignados en el expediente clínico al momento de realizar el estudio, las manifestaciones clínicas consideradas fueron:

CIANCIA: Coloración rojiza del piel y mucosas causada por oxigenación insuficiente de la sangre, con saturación menor del 80%.

SOPLOS: Fenómenos acústicos audibles con estetoscopio o sin él , en el corazón y vasos periféricos, que en la mayoría de los casos nos traducen alguna lesión patológica o semi funcional cuando hay ausencia de daño orgánico. Para fines de la investigación interesar los de origen cardíaco y de estos últimos los sistólicos(proto,moco, tata y holosistólicos) y diástólicos(proto,moco, tata y holodiastólicos).

HEPATOCEGALIA: Aumento de volumen del hígado por congestión sanguínea en los sinusoides hepáticos, debido a insuficiencia cardíaca, y para fines del estudio es considerado como presente a más de 2 cm. del borde costal derecho ó ausente de 2 cm ó menos del borde costal derecho.

HIPOTENSIÓN: Diaminución de los rangos normales de la tensión arterial de acuerdo a la edad que se estudia, considerándose presente cuando la tensión arterial media era menor de 80 mmHg.

INSUFICIENCIA CARDÍACA: Discrepancia entre las necesidades metabólicas de oxígeno y la capacidad del corazón para aportarlos.

TACICARDIA: Es el aumento de la frecuencia cardíaca arriba de los rangos normales de acuerdo a la edad que se estudia.

SÍNDROME DE INSUFICIENCIA RESPIRATORIA: Es la incapacidad del aparato respiratorio de mantener la homeostasis del intercambio gaseoso (O₂ y CO₂) de acuerdo a las necesidades del organismo, siendo las manifestaciones respiratorias las siguientes, polipnea, taquipnea, estertor nasal, tiros intercostales, retracción xifoides, disociación toracolumbar, quejido respiratorio.

B. HALLAZOS RADICOLÓGICOS.

Variable ordinal, que se refiere a una fotografía del bloque cardiopulmonar y órganos adyacentes en una película concilable por medio de rayos X, estando el paciente en decúbito dorsal, con la parte posterior del tórax pegada a la película y en inspiración forzada y sin movimiento respiratorio al momento del disparo del rayo, la distancia entre el tubo disparador del rayo y la película concilable por lo general es de 72 pulgadas. La radiografía de tórax suele registrarse como normal o anormal.

En este estudio se busca intrínsecamente cardiomegalia (crecimiento del corazón) basado en el índice cardiotáctico, lo cual para su medición se trazan 4 líneas; la primera se conoce como línea transversa (LT) que mide el diámetro interno del tórax, desde la superficie externa pleural derecha pasando exactamente por la parte superior del diafragma derecho hasta la superficie externa pleural izquierdo. La segunda línea divide el plano medio del tórax, a través de una ondulación de los espacios espinaeales de la columna vertebral, se conoce como línea media (LM). Perpendicularmente a esta última línea se traza otra línea hacia el punto del lado derecho conocida como el máximo diámetro cardíaco del lado derecho (MDCLD), del mismo se traza otra línea perpendicular pero hacia el lado opuesto hacia el punto más lejana del margen cardíaco izquierdo, esta línea es conocida como el máximo diámetro cardíaco del lado izquierdo (MDCLI). El índice cardiotáctico se obtiene por la división de la suma de MDCLD más MDCLI, entre LT. Su resultado se expresa en porcentaje y se considerará normal hasta menor de 0.60, de 0.60 % a 0.64% como cardiomegalia grado I o leve, entre 0.65% y 0.68% como cardiomegalia grado II o moderada, y +70% y más como cardiomegalia grado III o severa.

C. HABLAJES ELECTROCARDIOGRÁFICOS.

ELECTROCARDIOGRAFIA.

Variante ordinaria, en medición se registrará de acuerdo al Código de Minnemoto de clasificación de trazos electrocardiográficos. Se refiere el registro gráfico de los cambios eléctricos producidos por el potencial de acción del músculo cardíaco, esto constituido por una línea horizontal de ascensos y descensos correspondiente a la actividad auricular y ventricular. Al registrar un trazo electrocardiográfico en suceden el mismo tiempo una serie de ondas (variación de potencial) y que se repiten en cada latido con igual forma y duración, si no cambia el ritmo, la forma y actividad del corazón. se llaman denominar este orden con los símbolos P, Q, R,S, T y U.

La onda P se produce por la despolarización auricular, en una etapa discretamente precedente, su duración no excede 0.10 seg y su voltaje máximo es de 2.5 mm (0.25m.v). En condiciones normales es positiva en las siguientes derivaciones (que no definirán rala edad) D1, DII, AVF y V2 a V3 y por lo general siempre es negativa en AVR y varía su morfología en DII y AVL (positiva, negativa o difícil).

La onda QRS es el resultado de la despolarización ventricular y en conjunto se denominan complejo QRS. La onda Q es la primera onda negativa del complejo ventricular, la onda R es la primera onda positiva del complejo siguiendo a la onda Q, si existen más de una onda positiva la segunda se denomina R' (R prima). La onda S es negativa para la condición que vaya precedida de una onda positiva u onda R. La duración del complejo QRS oscila en 0.03-0.10 segundos. El voltaje de cada una de las ondas varía de acuerdo a la posición del corazón, grosor de la pared torácica, posición del electrodo explorador. (ANEKO 01-4, tomado de Deegan A y Cole. Normal ECG standard for Infants and Children. Pediatr Cardiol 1979;1: 123-31).

La pausa comprendida entre el principio de la onda P y el principio del complejo QRS se denomina espacio P-R, su medida en el tiempo es el transcurso desde el inicio que el estímulo se origina en el nido de Keith-Fleit hasta llegar a los ventrículos y activa las fibras musculares. (ANEKO 05).

Después del QRS sigue un pequeño espacio que se denota P-T ó P-P-T, encogida se transcribe la onda T que es el resultado de las fuerzas eléctricas originadas por la repolarización de los ventrículos. El espacio P-T cumple su función ventricular. La onda U es una pequeña onda y positiva sobre todo las derivaciones precordiales derechas y transitorias.

Para fines del presente trabajo de investigación es importante buscar y definir los siguientes conceptos.

RITMO: El corazón tiene la propiedad de producir sus propios estímulos eléctricos a través del nido nido auricular de Keith-Fleit o nido cinusal que ilumina todos las estructuras del corazón a través de dos haces especiales (internodal anterior o Wenckebach o internodal posterior o de Thorell) haciendo sincopio con el nido auriculoventricular (AV) también conocido como Asthma-Tawara, después con el haz de His y fibras de Purkinje; esta propiedad del corazón de producir sus propios estímulos recibe el nombre de automatismo y es el que da origen al ritmo cardíaco o sinusal. Cuando surgen anomalías en los tipos de automatismo del corazón se habla de alteraciones y por las características propias de la enfermedad a investigar se hace importante describir este tipo de alteraciones, teniendo entre las más frecuentes: taquicardia, bradicardia, ritmos pasivos (escape nodal y ventricular o idioventricular), bloques auriculoventriculares, taquicardia supraventricular, flutter, fibrilación ventricular y bloques de rama.

A continuación se describen brevemente y en forma sencilla las alteraciones previamente mencionadas.

TACICARDIA SINUSAL: Es cuando la frecuencia cardíaca minuto del individuo en reposo está por encima de los valores aceptados como normales para la edad del paciente. (ANEXO 06)

BRADICARDIA SINUSAL: Es todo lo contrario de lo anterior y se refiere cuando la frecuencia cardíaca minuto está por debajo de los valores aceptados como normales para la edad del paciente. (ANEXO 06)

CRECIMIENTO AURICULAR ARFS:

A.-CRECIMIENTO AURICULAR DERECHO: En los casos de crecimiento auricular derecho de manera particular las fuerzas de depolarización de la cara anterior de la aurícula derecha aumentan, por lo tanto superan a las de la aurícula izquierda, lo que causa que el vector resultante de la onda P se oriente más hacia abajo y la derecha al compararlo con el vector normal (30-60°) localizándose por lo general entre 45° y 60°, es decir a la derecha de su posición normal; como se mencionó, las fuerzas eléctricas apuntan hacia abajo lo que causa mayor voltaje y fárron picado de sus derivaciones dando un orientación (DII, DIII y AVF).

B.-CRECIMIENTO AURICULAR IZQUIERDO: En este caso el eje de la onda P se orienta más hacia hacia la izquierda (-30 y 0°), hay aumento de la duración de la onda P (más de 0.11 seg.) hay emparejamiento en las derivaciones estándares (DI,DII,DIII), aumento del voltaje del segundo pico de P y P bimodales en las derivaciones V3 o V4 o de V3 a V3.

C.-CRECIMIENTO BIAURICULAR: El eje de P se desvía hacia la izquierda o hacia la derecha dependiendo de la aurícula dominante o en algunos casos permanece en su lugar si los crecimientos son proporcionalmente iguales. Las derivaciones estándares pueden mostrar ondas P bimodal anchas o con muescas lo que nos traduce crecimiento auricular izquierdo o aumento del primer pico (crecimiento auricular derecho). Hay otros datos de crecimiento auricular izquierdo como sentir el eje de P desviado a la derecha y P escumada en las precordiales derechas.

CREENCIENTOS VENTRICULARES:

1.- HIPERTROFIA VENTRICULAR IZQUIERDA:

En estos casos el mayor grosor de la pared libre del ventrículo izquierdo que acompaña a esta patología, aumenta los vectores correspondientes causando positividad de la onda R en las derivaciones que miran esa cara del corazón como son V5 y V6 , así mismo negatividad (onda S), en las derivaciones que miran la cara derecha (V1 y V2). En los casos de hipertrofia se observan onda Q de mayor voltaje y duración en V5 y V6 y acompaña a los datos anteriores mencionados mayor duración del complejo QRS, desviación del complejo QRS a la izquierda, levorotación y se encuentra onda T en V5 y V6, esto sucede porque el vector de repolarización va en condiciones totalmente contrarias a lo normal (de epi a endocardio).

HIPERTROFIA VENTRICULAR DERECHA: Hay aumento del voltaje de la onda R en V1 y a veces en V2; a mayor hipertrofia mayor voltaje de R así mismo hay disminución de la onda onda S mencionada en V5 y V6 y aumento de la onda S en las mismas derivaciones, el eje QRS frecuentemente se encuentra más allá de +120°, en casos de hipertrofia de los porciones basales puede haber S profundas no solamente en V5 y V6 sino desde V1 a V6 además de aumento de R en AVR, retraso en la deflexión intrínseca en V1 y V2 (normal 0.035 seg). La onda positiva en V1 y V2 antes de los dos años es patológica y sugiere crecimiento ventricular derecho pero en los casos severos la onda T puede permanecer negativa y aún de tipo isquémico.

D. IMÁGENES EOCARDIOGRÁFICAS:

ECCARDIOGRAFIA: Variable contiene de sucesos que consisten en vibraciones mecanicas que al desplazarse en un medio lo hacen en formas de ondas, es decir oscilaciones o desplazamientos de compresión y decompresión (ciclos) de los perifericos con una velocidad media, entre ondas con la misma frecuencia siendo su límite inferior de la frecuencia del espectro ultrasonográfico, predominantemente, 20 kilohertz (Khz), (1 Hertz = 1 ciclo por segundo (C.P.S.), 1 KHz = 1000 CPS, 1 MHz = 1000,000 CPS). Estas ondas son emitidas por un transductor que al chocar con las diferentes estructuras sólidas o líquidas reflejan un eco y con visualizadas o grabadas. Las frecuencias más utilizadas en ecocardiografía varían de 2 a 7.5 KHz.

MODO M: Su término proviene de movimiento y su principio básico se debe a que la interfase de las ondas producidas da derivan de estructuras en constante movimiento, por lo tanto si el ecocardiógrafo está equipado con un receptor el cual indica la orientación del rayo ultrasonográfico en el espacio, los puntos a partir de múltiples inclinaciones del transductor pueden combinarse hasta formar una imagen mixta llamada modo B. En la representación ecocardiográfica clínica habitual llamada modo M, los puntos se representan en un eje vertical, según la distancia entre ellos y el tiempo. Así, la ecocardiografía M nos facilita, no solo registrar la actividad cardíaca, sino también visualizar el movimiento de varias estructuras cardíacas en tanto que éstas cambian de posición en relación al transductor durante los diferentes fases del ciclo cardíaco.

ECOCARDIOGRAFIA BIDIMENSIONAL: Técnica desarrollada a principios de la década de los años '60s y se basa en ecocardiografías capaces de dar imágenes en dos dimensiones (es decir añadiendo otra dimensión a la anteroposterior del corazón) que se basa tanto en la situación de los ecos como el patrón de sus movimientos, por otra parte el movimiento permite al ojo humano integrar todas las imágenes producidas por un determinado número de líneas de registro individuales. Actualmente, el método estándar de registro de ecocardiografía bidimensional es enfocar una cámara de televisión a una pantalla osciloscópica y registrar imágenes en video, posteriormente con una cámara Polaroid puede obtenerse del video una imagen única y en movimiento.

EFFECTO DOPPLER: Consiste en el cambio de frecuencia de una onda sonora cuando alcanza un objeto en movimiento. En el sistema cardiovascular los eritrocitos actúan como elementos iniciales reflectantes del ultrasonido y en el cambio de frecuencia entre el ultrasonido transmitido (F0) y el reflejado (F1) es directamente proporcional a la velocidad del flujo sanguíneo, las ondas que regresan al transductor tienen un efecto formado por la dirección del haz de ultrasonido y la del flujo sanguíneo.

En los ecocardiogramas se pueden emplear dos tipos de señal doppler; continuo y pulsado. En el continuo la emisión de ondas con constantes y tiene la ventaja de medir flujos muy altos, aunque no permiten conocer con precisión el origen de la señal recibida (no tienen rango de resolución).

La técnica pulsar emite ondas ultrasonográficas en forma intermitente y su principal ventaja es que permite seleccionar con precisión el flujo cardíaco o vascular en estudio (rango de resolución). Después que la señal doppler es detectada y filtrada, el análisis de los cambios de frecuencia producidos por el movimiento de las células sanguíneas se pueden realizar con señales auditivas o en forma de gráfica para su análisis espectral.

DOPPLER COLOR: Consiste en la separación electrónica del ultrasonido reflejado en dos componentes (la imagen ecocardiográfica y la señal doppler). La información doppler se autorecorrela a través de un sistema computacional y se convierte en color para agregarse a la imagen ecocardiográfica. Las imágenes obtenidas con esta técnica representan los cambios de velocidad del flujo que se codifica a color y se superponen a un registro gráfico modo M y/o bidimensional.

En los estudios cardiovasculares sólo interesa registrar el flujo en color quedando el corazón gris, debido a que la sangre se mueve con mayor rapidez que las células cardiacas, el procesador de color no diseña para codificar exclusivamente objetos con una velocidad mayor que el valor umbral establecido.

FRACCION DE ACORTAMIENTO V EFECACION: En la primera se utilizó la siguiente fórmula; fracción de acortamiento= diámetro diastólico en mm menos diámetro sistólico en mm, dividido entre el diámetro diastólico en mm y el resultado multiplicado por 100.

Los parámetros ecocardiográficos que se tomaron como índice de normalidad con los estándares recomendados por la Sociedad Americana de Ecocardiografía: FA promedio 36-85%. De predicción de límites 20-44%. Se utilizó la fórmula para ventrículo dilatado de Leclercq.

Fracción de expulsión: Diámetro diastólico elevado al cubo por factor de corrección menos diámetro sistólico al cubo por factor de corrección, dividido entre el diámetro diastólico al cubo por factor de corrección. El factor de corrección es igual a 7/2.4 ratio diámetro diastólico en cm a diámetro sistólico en cm.

Los parámetros ecocardiográficos que se tomaron como índice de normalidad con los estándares recomendados por la Sociedad Americana de Ecocardiografía. FE- promedio 74-95%, de predicción de límites 64-83%.

Es también importante mediante esta técnica de diagnóstico investigar trombos en ventrículo izquierdo, contractilidad ventricular o insuficiencia valvular.

H. HALLAZGOS FISIOPATÓLOGICOS.

CATETERISMO CARDIACO.

Variable medida ordinal para las insuficiencias valvulares y de razón para la medición de presiones. Esto es un procedimiento diagnóstico que se hace en la introducción de un catéter en el corazón a través de vías peritoneal, por lo tanto el parámetro hemodinámico y realizar una angiografía con la finalidad de obtener diagnóstico cardiovascular preciso. Para la introducción del catéter existen varias vías de abordaje pero desde el punto de vista práctico son dos las que más se utilizan; la punzión percutánea de la vena y arteria femoral a nivel de los pliegues inguinal derecho o izquierdo y la disección de la vena basilica o arteria humeral a nivel del pliegue anterior del codo.

En este tipo de cardiopatía es necesario conocer la fracción de expulsión del miocardio, la cual se define como la determinación del cociente que existe en el volumen bárticolítico (presión residual al final de la sistole que coincide con el volumen mínimo ventricular) y diastólico (momento en que comienza el llenado ventricular y se manifiesta por el cierre de la válvula mitral). Esto representa un índice global del grado de acortamiento del fibra ventricular, dicha fracción es una de las medidas más útiles para determinar la función del bombillo del ventrículo izquierdo.

Por otro lado la dilatación ventricular derecha tiende a enfrentarse a incrementos progresivos de la tensión de oxígeno que tal vez generen mucho estrés de la postcarga externa (impedancia pulmonar) y esto va a ser un factor significativo que limita el funcionamiento ventricular, sumado a las elevadas demandas metabólicas impuestas por la mayor tensión parietal consistente con el daño intrínseco del miocardio, combinación que potencializa la dilatación ventricular, otro factor adicional es sobrecargo que acompaña a la dilatación ventricular progresiva es la regurgitación de la válvula auriculo-ventricular (mitral) que hace que se pierda la fracción regurgitante lo que causa un notable deterioro del ya da por el disminuido volumen sistólico, además de causar presión adicional al llenado ventricular trasmisiones a las circulaciones venosas pulmonares y sistémicas, por eso la importancia de hacer en esta tipo de estudio para fines de investigación:

Presión arterial de la arteria pulmonar (PA) (sistólica, diástólica y media), presiones de los diferentes compartimientos intracardícos (curva de presión media) ventrículos (diástólica 1, diástólica 2 y media); gasto cardíaco que se entiende por la cantidad de sangre expulsada por el corazón en cada latido y se mide por lo general en litros/minuto y el método más utilizado es el de Fick, el cual en principio establece que si un órgano sufre o sufre una cantidad de la circulación sanguínea, la cantidad de la misma es igual al producto del flujo sanguíneo por la diferencia entre la concentración dentro la sangre arterial y venosa de cada órgano, por tanto:

$$\text{VO}_2 = \text{Qp} \times \text{CVpO}_2 - \text{CapO}_2$$

en donde Qp= flujo pulmonar

CVpO₂ = contenido de oxígeno de la vena pulmonar.

CapO₂ = Contenido de oxígeno de la arteria pulmonar. Así:

$\text{Qp} \cdot \text{VO}_2 / \text{CVpO}_2 - \text{CapO}_2$ para la determinación de los parámetros es importante señalar que la actividad mecánica cardíaca se transmite a través del medio fluido que es la sangre en forma de ondas de presión. Los parámetros se expresan en mmHg (milímetros de mercurio) definiéndose esta como 1/760 de la presión ejercida por una columna de mercurio de 760 mm de Hg a la aceleración gravitacional (980.775 cm/cap2) y una densidad de mercurio de 13.59 g/cm³.

La revisión del registro gráfico de las curvas de presión se realizan en un papel fotográfico termosensible con chorro de tinta sobre papel milimetrado o en los sistemas digitalizados con una pluma o un haz de rayo hacer esto en los últimos cinco años.

G. HALLAZOS ANATOMOPATOLOGICOS.

BIOPSIA CARDIACA: Es una variable nominal, se refiere al estudio de un pequeño fragmento del corazón , estando el individuo vivo con fines diagnósticos, buscando alteraciones histopatológicas.

NI-CRÓPSIA: Variable nominal y se refiere al estudio de los hallazgos postmortem de las diferentes partes del organismo para fines diagnósticos , tanto en el aspecto macroscópico, poniendo especial énfasis en las alteraciones de la viscera cardíaca.

La pared miocárdica del corazón consta en músculo cardíaco y tejido conectivo que lo apoya. El miocardio ventricular es complejo en su composición, básicamente está constituido por bandas de músculo fibroso las cuales están parcialmente separadas entre ellas por tejido conectivo fibroelástico, se distinguen por su orientación. Estas fibras están formadas por fascículos musculares y tienen anastomosis cruzadas entre ellos mismas, el diámetro aproximado de estas fibras es de 12-14 micras, su capa superficial es una capa delgada llamada sarcómera y está en íntima contacto con una fibra del endomiosíum, esta capa externa está constituida por sarcóptomas que sirve de matriz a los miofibrillas, las cuales constan en una asociación de aproximadamente 30 alrededor a la costa de microfilamentos con un diámetro aproximado de 20-30 nanómetros. Estas miofibrillas se distinguen por bandas denominadas zóto, sus sarcómeros tienen un núcleo oval localizado en el centro también contienen muchos mitocondrios y retículo de Golgi, cada sarcómero de miofibrilla está rodeada por círculos profundos parecidos a dióces atravesándolos transversalmente, estos son denominados dióces intercalares.

Para fines de la investigación es importante contar con este estudio para valorar la hipoplasia del ventrículo izquierdo así como alteraciones valvulares y de la Aorta.

A nivel valvular podemos encontrar que la válvula mitral puede estar estenizada o atrófica, al igual la válvula cártila, dados estos hallazgos se puede subcategorizar en 4 subtipos a nivel patológico de acuerdo a la morfología de las válvulas del corazón izquierdo: 1.- Estenosis mitral o aórtica, 2.- Atresia mitral o cártila, 3.-Atresia cártila y estenosis mitral y 4.- Estenosis aórtica y atresia mitral.

El arco de la aorta se encuentra hipoplásico en varios grados o bien interrumpido entre 3-5 mm, una coartación puede estar presente a nivel de la unión del conducto arterioso con la aorta descendente en aproximadamente el 80% de las necropsias.

Hay evidencia de conducto arterioso el cual es largo con un diámetro de 10 mm . El auricle izquierdo es usualmente más pequeño de lo normal y ocasionalmente el foramen oval es severamente restrictivo, el endocardio puede estar fibrotic.

En esta patología se han asociado en forma rara por hallazgos de necropsias otras anomalías cardíacas incluyendo conoxicón auricular total de vena pulmonares, atresia del seno coronario, atresia de la vena pulmonar, canal auriculoventricular completo, interrupción del arco aórtico y también se han reportado arterias coronarias estenóticas en más del 60% de las necropsias, asociadas al subgrupo con atresia cártila y estenosis mitral, por otro lado las anomalías de las arterias coronaria son raras en pacientes con atresia aórtica y atresia mitral.

El septum ventricular por lo general se encuentra intacto y la cavidad ventricular izquierda es pequeña con fibroelastosis endocárdica.

NEFROLOGÍA.

El estudio comprendió 5 casos, en los cuales se revisaron en forma retrospectiva los expedientes clínicos y anatomo-patológicos, obteniéndose que la edad de los pacientes al momento del ingreso estuvieron comprendida en un rango de 2 a 4 días de vida extrauterina, con edad promedio de 3 días, hubo predominio del sexo masculino sobre el femenino con una relación de 1.6:1 y peso promedio de 2,400 gr (800-4100 gr). No se encontraron datos perinatales de importancia en ninguno de los casos. Los diagnósticos al momento de ingreso fueron: Síndrome de dificultad respiratoria, 1 caso (20%), neoplasia, 4 casos (80%); y cardiopatía congénita, 3 casos (60%). La edad de inicio de los síntomas (1) con promedio de 20 hrs con un rango de 2-84 hrs. Los datos de insuficiencia cardíaca edemática presentes en todos los casos al momento del ingreso manifestada por tricardia, galope, cianosis, hipertromegalia y pláster yugular en el 100% de los casos; así mismo estuvieron presentes en todos los pacientes datos de dificultad respiratoria de instauración progresiva y severa ameritando intubación orotracheal y ventilación mecánica (100%). (TABLA 1a Y 1b)

En la exploración física detectó, la tricardia, galope, pláster yugular, cianosis y hipertromegalia, así como los datos de dificultad respiratoria caracterizados por clíos nasal, retracción esternal, disociación toracoabdominal y quejido expiratorio en 3 casos (60%). Dos casos llegaron ya intubados de su lugar de referencia (40%).

Los estudios de gabinete mostraron por radiografía de tórax, cardiomegalia en grado variable, 3 casos (60%), no se especificó en el expediente grado de cardiomegalia, datos de hipertensión veno-arterial pulmonar en el 60% de los pacientes así como embalamiento de la pulmón. (FIGURA 1)

En los hallazgos electrocardiográficos predominó el crecimiento del ventrículo derecho, referido solo en 3 pacientes (60%), (FIGURA 2); y por ecocardiografía hubo evidencia de atresia aórtica en un caso (20%) y estenosis mitral en un caso (20%); la dilatación ventricular derecha estuvo presente en ambos casos (40%). En los demás pacientes no se encuentra consignada esta estudio. (FIGURA 3 Y 4)

La evolución clínica fué mala en el 100% de los casos, presentando un promedio de vida desde el nacimiento hasta su defunción de 10 días con un rango de 2 a 18 días.

El tratamiento de estos pacientes concidió en uso de amílico para apoyo hemodinámico, diuréticos de ASA, (furosemide) y asistencia mecánica a la ventilación, en todos los casos (100%).

Ninguno de los pacientes recibió manejo con prostaglandina F1. Las saturaciones de oxígeno fueron monitorizadas con oximetría de pulso presentando todos los pacientes saturaciones de >60% en promedio, (100%). Por gravimetría se evidenció acidosis metabólica de grados variables en todos los casos, ameritando manejo con bicarbonato de sodio, (100%). Se documentó insuficiencia renal aguda en 3 casos (60%).

Por estudio de necropsia se evidenció que en 2 casos (40%), presentaron el subtipo anatómico de estenosis mitral, atresia mitral en 2 casos (40%), 1 caso estenosis aórtica y siendo la más común la atresia cótica en 4 casos (80%), el foramen oval y el conducto arterioso permeable se detectó en 5 casos (100%), la tricardia se reporta en 4 casos, en 1 no se refiere; 2 pacientes presentaron comunicación interventricular del tipo muscular así, como cayado aórtico hipoplásico (40%). (FIGURA 5)

En relación a la medición valvular se reporta, la válvula tricúspide con un rango de 4-5 mm, la pulmonar de 0.8 a 3 mm, la mitral, se reportan 2 obstrucciones y el resto con rango de 0.6-1.6 mm, la válvula cótica en 4 casos válvica y en uno no hubo medición, el espesor medio del ventrículo izquierdo no fué valorable en 4 casos y en uno midió 0.9mm, mientras que la vía de entrada del ventrículo izquierdo no fué valorable en 2 pacientes, no se midió en uno y el resto con un rango de 0.8 a 2.5 mm, la vía de salida no fué valorable en 3 casos y no se midió en 2 casos. (FIGURA 6)

El conducto arterioso tuvo un rango de medición del 0.6 al 1.5 mm, mientras que el foramen oval del 0.4 al 0.7 mm, la vena ascendente del 0.4 al 0.6mm no valorable en 1 caso y el cayado cótico no se midió en 4 pacientes, un caso de 0.2 mm. (FIGURA 7)

La causa del fallecimiento fué choque cardiogénico en todos los pacientes.

DISCUSION:

El síndrome de ventrículo izquierdo hipoplásico, es una cardiopatía congénita que tiene una frecuencia de presentación muy baja (7.5% de la enfermedad congénita del recién nacido) y cuya mortalidad es muy alta (15-25% de la mortalidad durante la fase comienza 6 meses de vida). (1)

En el Hospital de Pediatría del Centro Médico Nacional del IMSS, se han registrado en un período de 6 años, seis 6 casos de esta patología, coincidiendo con lo reportado por el Programa Regional de Cardiopatías Infantiles de Nueva Inglaterra. (2)

Las manifestaciones clínicas observadas presentes en neonatos extráfetales, sin antecedentes perinatales de importancia y que a los pocos meses de nacidos debutaron con datos de falla cardíaca tales como: taquicardia, galope, ingurgitación jugular y hepatomegalia así como datos de dificultad respiratoria progresiva y severa, tal y como se describe en la literatura, sin encontrarse diferencias. (6).

En los casos en los que se contó con estudios de gabinete, fué demostrativa la presencia de cardiomegalia en la radiografía de tórax así como datos de hipertensión veno-capilar pulmonar con abombamiento de la pulmón, el electrocardiograma demuestra el predominio de los fuerzos derechos y ecocardiográficamente, se corroboró los anómalias anatómicas implicadas en esta patología coincidiendo con lo reportado por Austin, (4), siendo esto de gran trascendencia dado que por alta resolución del estudio ecocardiográfico es posible la valoración integral cardíaca para decidir el manejo quirúrgico; no realizándose estetotomía por el riesgo de cierre del conducto arterioso y por la alta recuperación del estudio ecocardiográfico. (2)

El manejo médico estuvo dado para la estabilización hemodinámica, más sin embargo ninguno de los pacientes recibió prostaglandina E1, tratamiento de elección en cardiopatías congénitas conducto dependientes, como lo referido en este estudio y cuya dosis debe ser administrada a razón de 0.1 mcg/kg/min, para preparación quirúrgica, ya que ésta es el único tratamiento efectivo para dicha patología, la cual se realiza en 3 tiempos, dos cirugías palliativas y una correctiva, o bien por la técnica docernecida por Balley y el grupo de Loma Linda del clostroplastia cardíaco.(2),(4),(10). Este procedimiento es de evolución fatal sin manejo quirúrgico, más sin embargo en un estudio realizado por Murdoch y colaboradores de 200 casos con SVIH, demostró que no existe diferencia de sobrevida al acuerdo si subtipo anatómico ó tipo de cierre/circuito realizado en la reconstrucción inicial entre del procedimiento de Fontan modificado, así mismo sus estudios sugieren que la sobrevida es mejor en pacientes que tuvieron estenosis aórtica y mitral en relación con los que presentan ateria aórtica y mitral; en nuestra serie de casos no se realizó manejo quirúrgico a ninguno de los pacientes. (16)

Los estudios anatomo-patológicos demuestran una frecuencia mayor de estenosis aórtica en un (80%), en comparación con la estenosis mitral (20%), describiéndose asociaciones de estenosis mitral con ateria aórtica en 2 casos (40%), un caso con estenosis mitral y estenosis aórtica (20%), un caso de estenosis mitral con ateria aórtica (20%) y un caso solo con ateria aórtica (20%); no concordando con lo referido en la literatura en donde Bharati en una serie de 230 casos mostró mayor frecuencia de la asociación de ateria aórtica con estenosis mitral, (45%) y siguiéndole la estenosis mitral con ateria aórtica (41%) y en un 13% estenosis mitral con estenosis aórtica,(15); más sin embargo esto no es valorable ni significativo, dado el volumen que maneja dicho estudio en comparación con lo reportado en este trabajo.

El defecto septal más frecuente fué la comunicación interauricular tipo foramen oval y el conducto arterioso permeable ostentando presente en el 100% de los casos correspondiendo a los descrito por Freedman, en ninguno de los casos se presentó coartación de aorta siendo esta hallazgo no común, más sin embargo la hipoplasia de la aorta ascendente se demostró en el 60% y el cierre de la aorta hipoplásico en un 40%, siendo todos estos hallazgos similares a lo descrito por Bharati (15).

Natowicz, en un estudio realizado durante un período de 11 años, demostró que el 28% de los pacientes con Síndrome de Ventrículo Izquierdo Hipoplásico cursan con anomalías craniomaxilares tales como la tricromia 13, 18 y 21, así como con anomalías

extraordinaria principalmente a nivel renal, no demostrándose en este estudio clínicos genopáticos ni por datos clínicos ni por estudio de cromóps. (8)

CONCLUSIONES.

- 1.- En todo recién nacido, sin antecedentes perinatales de importancia, extráuticos y con datos de falla cardíaca y respiratoria de presentación temprana, se debe sospechar dicha patología.
- 2.- El diagnóstico debe realizarse en forma temprana debido a su evolución clínica fatal.
- 3.- Todos los pacientes con SVIH deben ser manejados con prostaglandina E1, por ser cardiopatía conducto dependiente.
- 4.- A todos los pacientes con esta patología se les debe realizar manejo quirúrgico.

AMPLITUD EN V1 EN ODS DE DERIVACIONES PRECORDIALES CERECAS

AMPLITUD EN V1 (mm)

ONDA R

ONDA S

EDAD	MIN	5%	Prom.	95%	Max.	Ds	Min	5%	Prom.	95%	Max	Ds
0-24hr	5.5	7	14.0	20	20.5	3.72	0.0	2.5	9.3	27	28.5	7.99
1-7d	5.5	9	10.2	27.4	29.5	5.44	1.15	4.6	10.4	10.0	25.5	4.70
8-30d	2.5	4.2	11.6	19.8	26.5	4.97	0.0	2.5	5.0	12.0	18.5	3.73
1-3m	0.0	3.6	9.4	17.9	20.5	5.12	0.0	2.0	5.7	17.0	19.5	5.62
3-6m	5.5	6.1	10.0	16.7	17.5	3.14	1.5	2.1	6.0	11.0	13.5	2.00
6-12m	0.0	4	7.3	16	17.5	3.04	0.0	1.9	6.2	10.0	16.5	3.73
1-3a	2.5	3.6	13.8	15	17.5	3.03	4.5	2.2	10.7	20.5	20.5	5.50
3-5a	0.0	2.6	6.9	15.6	17.5	3.04	4.5	5	11.0	24.0	34.5	6.0
5-8a	0.0	3.6	6.7	13.5	20.5	3.04	1.5	5.3	12.7	21	25.5	5.21
8-12a	0.0	3.6	5.7	11.3	17.5	3.10	1.5	4.8	14	22.3	25.5	5.74
12-	0.0	2.1	4.0	11.1	17.5	3.19	1.5	5.5	13.4	22.3	25.5	5.32
16a												

ANEXO #1

AMPLITUD EN V2 (mm)

ONDA R

ONDA S

EDAD	MIN	5%	Prom.	95%	Max	Ds	Min	5%	Prom.	95%	Max	Ds
0-24h	11.5	19	20.4	28.1	29.5	3.81	5.0	9.0	20.3	33.0	37.0	6.73
1-7d	0.5	11.7	19.0	31.1	32.5	5.00	5.0	9.3	20.2	34.1	37.0	7.23
8-30d	5.5	6.8	17.5	29.4	35.5	6.48	1.0	4.2	16.0	26.7	28.0	6.42
1-3m	0.5	9.3	16	27.4	29.5	4.93	1.0	4.0	19.0	34.1	37.0	6.21
3-6m	11.5	18.4	21.1	20.6	29.5	4.79	5.0	6.2	16.0	23.5	29.0	5.83
6-	5.5	10.5	16.7	24.4	23.5	4.34	1.0	4.0	16.4	30.1	33.0	7.00
12m												
1-3a	5.5	8.9	14.6	22.5	26.5	3.89	5.0	9.5	20.3	32.1	37.0	6.84
3-5a	0.0	3.3	12.6	22.0	23.5	5.32	13.0	13.0	20.3	26.0	33.0	4.74
5-8a	0.0	3.6	11.7	22.9	32.5	6.89	9.0	10.0	22.2	33.8	41.0	7.70
8-12a	2.5	3.8	9.3	16.0	20.5	3.99	9.0	11.0	29.2	55.3	57.0	7.14
12-	0.0	2.7	8.1	16.4	20.5	4.79	5.0	9.0	22.0	41.0	53.5	9.70
16a												

ANEXO #2

**AMPLITUD DE LOS COMPLEJOS QRS EN DERIVACIONES PRECORDIALES IZQUIERDAS
AMPLITUD EN V5 (mm)**

ONDA R

ONDA S

EDAD	Min	5%	Prom	95%	Max	Ds	Min	5%	Prom	95%	Max	Ds
0-24h	0.0	4.0	10.2	10.0	24.0	5.44	0.0	0.0	11.9	24.0	31.5	6.07
1-7d	0.0	3.4	10.7	19.3	20.0	5.56	0.0	3.6	6.0	16.3	19.5	4.73
8-30d	0.0	3.5	11.9	27.0	36.0	7.20	0.0	2.7	4.0	12.3	13.5	3.59
1-3m	4.0	7.3	13.6	20.7	24.0	3.07	0.0	2.0	4.7	12.7	13.5	4.14
3-6m	8.0	9.3	17.9	23.5	28.0	4.03	0.0	1.9	4.2	15.4	16.5	5.03
6-12m	8.0	9.7	17.1	24.7	28.0	4.03	0.0	2.0	2.9	8.0	10.5	2.41
1-3a	0.0	9.1	17.0	27.7	40.0	6.69	0.0	1.0	2.2	7.0	10.5	2.33
3-5a	0.0	9.4	10.5	30.0	36.0	6.59	0.0	1.0	2.0	5.0	7.5	1.91
5-8a	0.0	10.0	20.2	31.2	40.0	6.15	0.0	1.0	2.4	6.6	10.5	2.03
8-12a	0.0	10.9	21.9	30.0	36.0	6.23	0.0	1.0	1.7	4.4	10.5	1.91
12-	4.0	8.4	17.2	26.7	36.0	5.42	0.0	1.0	1.7	5.0	7.5	1.91
16a												

ANEXO #3

AMPLITUD EN V6 (mm)

ONDA R

ONDA S

EDAD	Min	5%	Prom	95%	Max	Ds	Min	5%	Prom	95%	Max	Ds
0-24h	0.0	2.3	3.3	7.0	7.5	2.10	0.0	1.6	4.6	10.3	16.0	2.70
1-7d	0.0	2.2	5.1	19.0	13.5	3.07	0.0	0.0	3.0	0.0	14.0	2.00
8-30d	0.0	1.7	6.7	20.5	25.5	4.02	0.0	0.6	3.3	9.0	10.0	2.43
1-3m	1.5	3.8	6.4	12.0	18.5	2.75	0.0	0.0	2.0	6.0	6.5	1.00
3-6m	4.5	5.0	9.9	15.0	13.5	3.30	0.0	0.6	2.4	4.9	5.5	1.50
6-	4.5	5.5	11.0	17.3	19.5	3.42	0.0	0.7	1.6	3.3	3.5	1.03
12m												
1-3a	1.5	5.0	11.0	17.5	25.5	3.94	0.0	0.6	1.1	3.4	4.5	0.13
3-5a	4.5	5.4	12.0	20.3	25.5	4.07	0.0	0.6	1.0	2.4	3.5	0.84
5-8a	4.5	7.9	13.4	20.5	25.5	3.54	0.0	0.6	0.6	2.4	5.5	0.10
8-12a	7.5	8.4	14.4	19.2	22.5	3.35	0.0	0.6	1.0	2.0	5.5	0.90
12-	1.5	7.9	12.8	17.4	19.5	3.02	0.0	0.6	1.0	3.1	5.5	1.00
16a												

ANEXO #4

INTERVALO P-R (SEGUNDOS) EN DERIVACION DII

EDAD	2%	PROMEDIO	98%
Menos de 1 dia	0.00	0.00	0.16
1 - 2 dias	0.00	0.00	0.14
3 - 6 dias	0.07	0.10	0.14
1 - 3 semanas	0.07	0.10	0.14
1 - 2 meses	0.07	0.10	0.13
3 - 5 meses	0.07	0.11	0.15
6 - 11 meses	0.09	0.11	0.13
1 - 2 años	0.09	0.11	0.16
3 - 4 años	0.09	0.12	0.16
5 - 7 años	0.09	0.12	0.16
8 - 11 años	0.09	0.13	0.17
12 - 15 años	0.09	0.14	0.19

Tomado de Davignon A y col. Normal ECG standards for infants and children. Pediatr Cardiol 1979; 1: 123-31

ANEXO C 5

FRECUENCIA CARDIACA POR MINUTO

EDAD	2%	PROMEDIO	98%
Menos de 1 dia	88	128	154
1 - 2 dias	91	128	169
3 - 6 dias	51	129	163
1 - 3 sem.	107	148	162
1 - 2 meses	121	148	179
3 - 5 meses	103	144	166
6 - 11 meses	109	134	159
1 - 2 años	69	119	150
3 - 4 años	73	100	137
5 - 7 años	65	90	133
8 - 11 años	62	91	130
12 - 15 años	60	95	119

Tomado de Davignon A y col. Normal ECG standards for infants and children. Pediatr Cardiol 1979, 1: 123-31

ANEXO C 6

SÍNDROME DE VENTRÍCULOIZQUIERDO HIPOPЛАSICO

HALLAZGOS CLÍNICOS

RELACION SEXO: M.F	1.5:1
EDAD	3 días
PESO	2400 g
EDAD DE INICIO DE LOS SINTOMAS	28 horas
PROMEDIO DE VIDA	10 días

TABLA 01a

DATOS CLÍNICOS

SINTOMAS	CASOS	%
DIFÍCULTAD RESPIRATORIA	5	100%
TACQUICARDIA	6	100%
HEPATOMEGLIA	5	100%
INJURGITACIÓN YUGULAR	5	100%
CIANOSIS	5	100%

TABLA 01b

HALLAZGOS RADICLICOS

HALLAZGOS	% DE CASOS	%
CARDIOMEGLIA	3/5	60%
↑ FLUJO VENOCAPILAR PULMONAR	3/5	60%
ABOMBAMIENTO DE LA PULMONAR	3/5	60%

TABLA 02

HALLAZGOS EOCARDIOGRAFICOS

HALLAZGOS	% DE CASOS	%
ESTENOSIS MITRAL	1/5	20%
ATRESIA AORTICA	1/5	20%
ESTENOSIS AORTICA	0/5	--
ATRESIA MITRAL	0/5	--

TABLA 03

MALLAZGOS ELECTROCARDIOGRAFICOS

MALLAZGOS	Nº DE CASOS	%
HIPERTROFIA DE VENTRÍCULO DERECHO	3/5	60%

TABLA 04

MALLAZGOS ANATOMOPATOLOGICOS

SUBTIPOS ANATOMOPATOLOGICOS

MALLAZGOS	Nº DE CASOS	%
ESTENOSIS MITRAL	2/5	40%
ATRESIA MITRAL	2/5	40%
ESTENOSIS AORTICA	1/5	20%
ATRESIA AORTICA	4/5	80%

TABLA 05

VARIANCIAS ANATOMOPATOLOGICAS

MALLAZGOS	Nº DE CASOS	%
HIPOPLASIA DE AORTA ASCENDENTE	3/5	60%
FORAMEN OVAL	5/5	100%
CONDUCTO ARTERIOSO PERMEABLE	5/5	100%
COMUNICACION INTERVENTRICULAR TIPO MUSCULAR	2/5	40%
CAYADO AORTICO HIPOPLASICO	2/5	40%

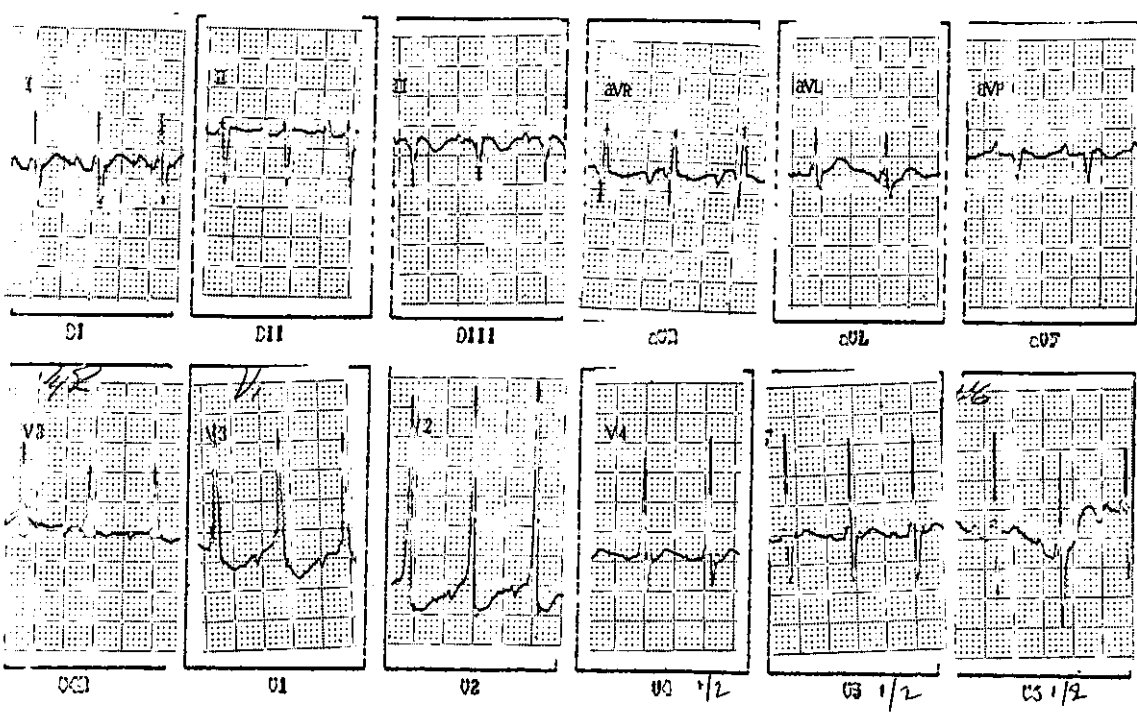
TABLA 06

MEDICIONES ANATOMOPATOLOGICAS

CASOS	V.T.	V.P.	V.M.	V.Ao.	ERTVD	EMVI	VEVD	VSVD	VEVI	VSVI	PCA	FO	AoAH	CAoH
1.	4.5cm	2.7cm	Atresica	Atresica		No valorable	2.8cm	4.5cm	No valorable	No valorable	0.7cm	0.4cm	0.4cm	-----
2.	5cm	3cm	1.5cm	Atresica	0.2cm	No valorable	4.5cm	4.5cm	2.5cm	No valorable	0.5cm	0.7cm	-----	-----
3.	-----	-----	0.5cm	-----	-----	-----	-----	-----	-----	-----	0.5cm	0.6cm	0.4cm	0.2cm
4.	4cm	0.8cm	0.5cm	Atresica	0.5cm	0.6cm	-----	-----	0.8cm	-----	0.6cm	0.4cm	0.5cm	-----
5.	4cm	3cm	Atresica	Atresica	0.4cm	No valorable	3cm	----	No valorable	No valorable	0.5cm	0.5cm	0.5cm	-----

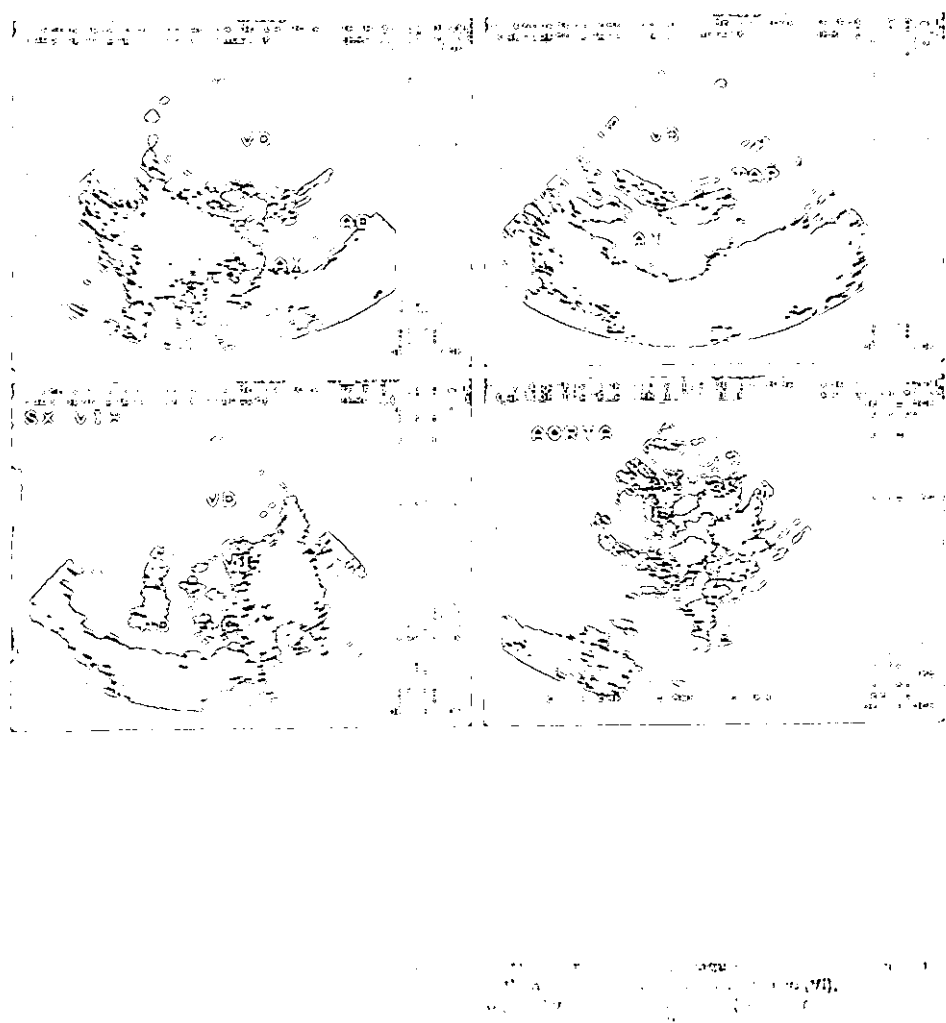
V. T.: Valvula tricuspida, V.P.: Valvula pulmonar, V.M.: Valvula mitral, V.Ao: Valvula aortica, EMVD: Espesor medio de ventriculo derecho, EMVI: Espesor medio de ventriculo izquierdo, VEVD: Vía de entrada de ventriculo derecho, VSVD: Vía de salida de ventriculo derecho, VEV: Vía de entrada de ventriculo izquierdo, VSVI: Vía de salida ventriculo izquierdo, PCA: Persistencia de conducto arterioso, FO: Foramen oval, Ao AH: Aorta ascendente hipoplásica, CA: cayendo aortico.

TABLA #7



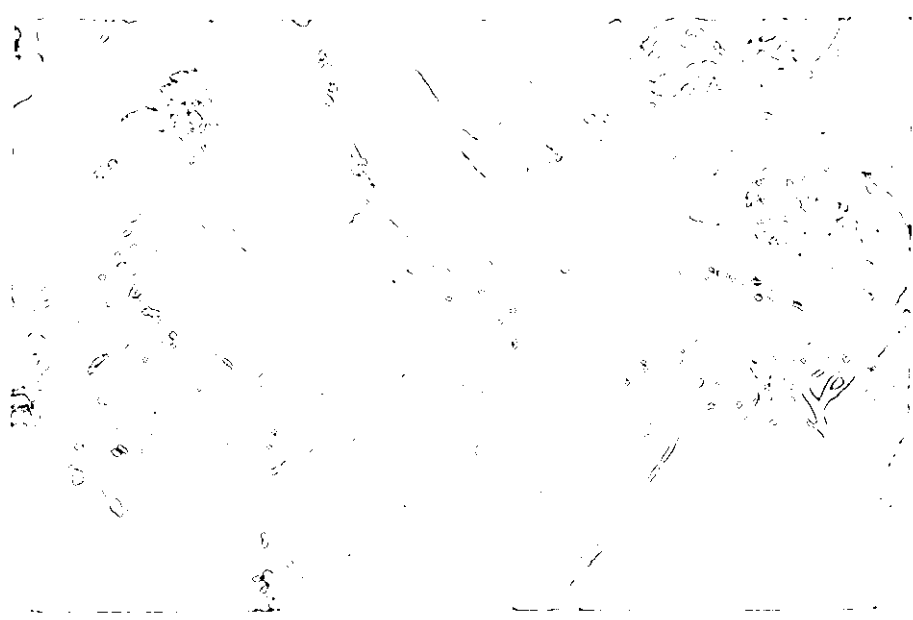
Observamos en el electrocardiograma, ritmo sinusal, ritmo sinusual, con una FVR de 160X, predominio de cavidades derechas con R en V₁R, V₁ y V₂ y S en V₆, con intradesnivel del ST en V₁ y V₂, lo cual nos indica sobrecarga ventricular derecha.

(FIGURA 2)





Echocardiograma que muestra la hipoplasia ventricular izquierdo (MI), con cavidad izquierda de tamaño normal (d), hipoplasia de la aorta (AC), y el gran tamaño del vena cava derecha (VD) y tronco de la arteria pulmonar (TAP). Se observa un conducto arterial o permeable por eco-doppler.
FIG.IRA -



Vista posterior de ambos ventrículos, donde podemos observar la gran hipoplasia ventricular izquierdo.
(FIGURA b)

HISTOLOGÍA EN LA MUJER
DE LA PREGNANCIA.



Pieza anatomo patológica que muestra el gran tamaño de la arteria pulmonar y la gran hipoplasia de la aorta.
(FIGURA b)



Ventriculo izquierdo hipoplásico visto a nivel del endocardio, el cual muestra la fibroblastosis con la que cursan estos pacientes, así como disminución del grosor de sus paredes.
(FIGURA 7)

BIBLIOGRAFIA.

- 1.- Nicolson S, Steven J, Johns D. Critical Heart Disease in Infants and Children. Nicolson DG. 1995: 833-84
- 2.- Freedman R., Benson L., Smallhorn J. (1992) Neonatal Heart Disease. Springer - Verlag: 388-53
- 3.- Natowicz M., Chatten J., Clancy R., et al. Genetic disorders and major extracardiac anomalies associated with the hypoplastic left heart syndrome. Pediatrico 1988; 82: 698-703.
- 4.- Austin EH., Jones RA., Coyer JE., Castaneda AR. (1994) . Cardiac Surgery of the Neonate and Infant. Castaneda: 363-85.
- 5.- Fyler DC. Report of the New England Regional Infant Cardiac Program. Pediatrco 1980; 65: 376-461.
- 6.- Neuzner JA., Nedea AS. The hypoplastic left heart syndrome. Pediatr Clin North Am. 1958;5: 1029 - 58
- 7.- Folger GM, Sciol A. A new roentgenographic sign of hypoplastic left heart . Chest 1973; 64: 298-302.
- 8.- Van Rosten TJ, Knight L, Moller JH, Edwards JE. Coarctation of the aorta associated with aortic valvula stenosis. Circulation. 1975; 52: 951-54.
- 9.- Allen LD., Sharland G, Tynan MJ. The natural history of hypoplastic left heart syndrome. Int J Cardiol 1989;25: 341-46
- 10.- Becker C, Bove E, Zales V, Marzocca C. (1994). Pediatric Cardiac Surgery: 442 - 53
- 11.- Albalalco ET, Chin AJ, Scriber G, Kettell JG, Pigott JD, Norwood WI. Pulmonary artery configuration after palliative operations for hypoplastic left heart syndrome. J Thorac Cardiovasc Surg 1989; 97: 870-85
- 12.- Bailey L, Concepcion W, Shattuck H, Huang L. Indications of heart transplantation for treatment of hypoplastic left heart syndrome . J. Thorac Cardiovasc Surg 1988; 92: 1-5
- 13.- Bailey L, Nehlsen-Cannarella SL, Deroshow RW, et al. Cardiac allograft transplantation in newborns as therapy for hypoplastic left heart syndrome. N Engl J Med 1988; 319:949-63
- 14.- Jones RA, Lang P, Hancock D, et al. First stage palliation of hypoplastic left heart syndrome: The importance of coarctation and shunt size. J Thorac Cardiovasc Surg 1988; 92: 6-15
- 15.- Bharati S, Lev M. The surgical anatomy of hypoplasia of aortic tract complex. J Thorac Cardiovasc Surg 1984; 88:97-101
- 16.- Murdison K, Baffa J, Farrel P, Cheng A. et al. Hypoplastic left syndrome. Outcome After initial Reconstruction and Before Modified Fontan Procedure.